

концентрации носителей заряда при облучении определяется в основном введением  $A$ - и  $E$ -центров.

Из рис. 2 видно, что зависимость ЭВД от  $T^{-1}$  является экспоненциальной.<sup>1</sup> Параметры  $\Delta E_0$  различны для двух используемых типов образцов. Для образцов 1 имеем  $\Delta E_0 = 20$ , для образцов 2 —  $\Delta E_0 = 30$  мэВ. При этом выполняется примерное равенство отношений

$$\Delta E_0(1)/\Delta E_0(2) \simeq a(n_{01})/a(n_{02}), \quad (10)$$

что и следует из (8).

Таким образом, предложенный в [3-5] подход к описанию зависимости ЭВД от интенсивности облучения может быть применен к описанию зависимости ЭВД от температуры.

Интересно отметить, что предложенный подход к описанию температурной зависимости ЭВД позволяет по-иному трактовать результаты экспериментов по зависимости пороговой энергии образования дефектов от температуры [9, 10]. Согласно (7), при приближении  $T$  к  $T_m$  эффективность введения вторичных радиационных дефектов стремится к нулю. В то же время  $T_m$  определяется условиями проведения эксперимента (8): концентрацией носителей заряда  $n_0$  (т. е. степенью легирования кристалла), интенсивностью облучения, временем жизни неравновесных носителей заряда и энергией дефектообразующих электронов  $E_e$ . При прочих равных условиях уменьшение  $E_e$  приведет к увеличению  $T_m$ , что в эксперименте может быть воспринято как изменение пороговой энергии с температурой.

#### Список литературы

- [1] Физические процессы в облученных полупроводниках / Под ред. Л. С. Смирнова. Новосибирск, 1977. 256 с.
- [2] Емцев В. В., Машовец Т. В. Примеси и точечные дефекты в полупроводниках. М., 1981. 248 с.
- [3] Войцеховский А. И., Крайчинский А. Н., Мизрухин Л. В., Шаховцов В. И. // Письма ЖТФ. 1981. Т. 7. В. 12. С. 1029—1032.
- [4] Крайчинский А. Н., Мизрухин Л. В., Осташко Н. И., Шаховцов В. И. // ФТП. 1985. Т. 19. В. 12. С. 2202—2204.
- [5] Крайчинский А. Н., Мизрухин Л. В., Осташко Н. И., Шаховцов В. И. // ФТП. 1983. Т. 22. В. 2. С. 215—218.
- [6] Wertheim G. K. // Phys. Rev. 1959. V. 115. N 3. P. 568—569.
- [7] Stein H. J., Vook F. L. // Phys. Rev. 1967. V. 163. N 3. P. 790—800.
- [8] Бавилов В. С., Глазман В. Б., Исаев Н. У., Мухашев Б. Н., Спицын А. В. // ФТП. 1974. Т. 8. В. 3. С. 471—475.
- [9] Панов В. И., Смирнов Л. С. // ФТП. 1973. Т. 7. В. 1. С. 212—215.
- [10] Федина Л. И., Асеев А. Л., Денисенко С. Г., Смирнов Л. С. // ФТП. 1987. Т. 21. В. 4. С. 592—597.

Институт физики АН УССР  
Киев

Получено 5.02.1990  
Принято к печати 11.04.1990

ФТП, том 24, вып. 8, 1990

#### ЯВЛЕНИЯ ПЕРЕНОСА И РЕКОМБИНАЦИЯ В ТВЕРДЫХ РАСТВОРАХ $Mn_xHg_{1-x}Te$ ( $x \sim 0.1$ )

Баранский П. И., Беляев А. Е., Боднарук О. А.,  
Горбатюк И. Н., Комиренко С. М., Раренко И. М., Шевченко Н. В.

В настоящее время  $Cd_xHg_{1-x}Te$  является одним из основных материалов, используемых для ИК детекторов. Однако, несмотря на достигнутые успехи в получении как качественного материала, так и приборов на его основе, су-

<sup>1</sup> В области температур, меньших 100 К, наблюдается отклонение ЭВД от экспоненциальной зависимости, которое усиливается при дальнейшем понижении температуры. Результаты этих исследований будут опубликованы в ближайшее время.

ществуют определенные трудности, связанные в основном с нестабильностью системы  $Cd_xHg_{1-x}Te$ . Имеются теоретические соображения, указывающие на то, что устойчивость и эффективность Hg—Te-связи, заметно ослабляющейся при наличии Cd—Te в твердом растворе, могут быть существенно повышенны в сплаве с Mn—Te [1]. В связи с этим представляет интерес исследование электрофизических и рекомбинационных параметров в соединениях  $Mn_xHg_{1-x}Te$ , поскольку детальное изучение указанных характеристик позволяет производить оценки возможности создания соответствующих приборов на основе исследуемых материалов и их предельных параметров. Одним из первых шагов в этом направлении является, на наш взгляд, изучение влияния различных режимов термообработок выращенных кристаллов на явления переноса и рекомбинацию в них.

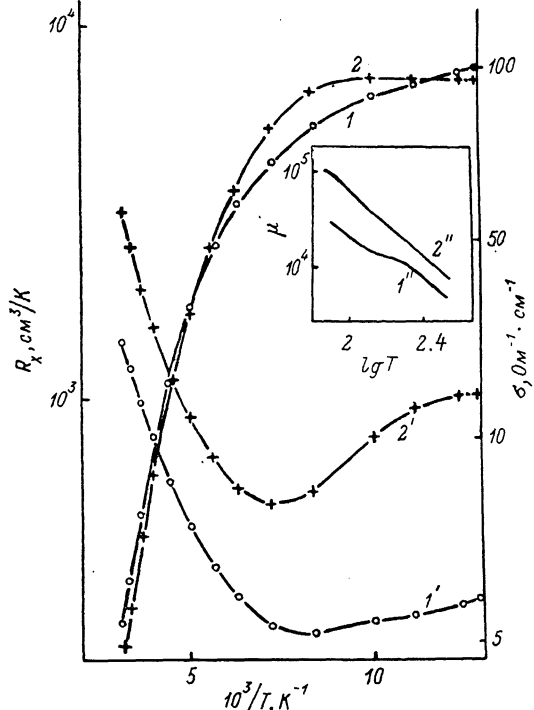


Рис. 1. Температурные зависимости коэффициента Холла  $R_x$  (1, 2), удельной проводимости  $\sigma$  ( $1'$ ,  $2'$ ) и подвижности  $\mu$  ( $1''$ ,  $2''$ ).

Образцы групп: 1, 1', 1'' — I, 2, 2', 2'' — II.

В данном сообщении приводятся результаты по определению времени жизни неравновесных носителей заряда в объемных кристаллах  $Mn_{0.1}Hg_{0.9}Te$ , позволившие провести идентификацию основных рекомбинационных механизмов в температурном интервале 77—250 К. На этих же образцах были выполнены измерения удельной проводимости  $\sigma$  и коэффициента Холла  $R_x$ , использованные для расчета подвижности  $\mu$  и концентрации равновесных носителей заряда  $n$ .

Специально не легированные кристаллы  $Mn_xHg_{1-x}Te$  были выращены модифицированным методом зонной плавки и отожжены в парах Hg при различных температурных и временных режимах с целью конверсии типа проводимости (из  $p$ -типа в  $n$ -тип). Холловские измерения ( $B=0.3$  Т) и измерения удельной проводимости проводились в интервале температур 77—300 К. Время жизни неравновесных носителей заряда определялось по кинетике фотоответа при низком уровне объемного возбуждения. Спад фотосигнала был экспоненциальным при  $77 \leq T \leq 250$  К.

Исследуемые образцы были разделены на две группы в соответствии с режимами термоотжига: 1) режим I — двухзонный отжиг в парах Hg; 2) ре-

Образец в режиме	$\alpha$	$E_{g,II}$ , эВ	$n_{II}$ , $\text{см}^{-3}$	$\mu_{II}$ , $\text{см}^2/\text{В} \cdot \text{с}$	$E_t$ , эВ	$N_t$ , $\text{см}^{-3}$
I	0.102	0.148	$7.8 \cdot 10^{14}$	$2.95 \cdot 10^4$	0.067	$1.67 \cdot 10^{15}$
II	0.097	0.129	$8.5 \cdot 10^{14}$	$9.74 \cdot 10^4$	0.065	$4.4 \cdot 10^{14}$

жим II — изотермический отжиг в парах ртути при различном остаточном давлении кислорода.

На рис. 1 представлены температурные зависимости коэффициента Холла  $R_x$ , удельной проводимости  $\sigma$  и подвижности  $\mu$  для двух образцов, отожженных соответственно в режимах I и II. Обращает на себя внимание наличие экспоненциального участка в области  $T < 125$  К на зависимости  $R_x(T)$  в образце группы I. В образцах группы II при этих же температурах  $R_x$  выходит на насыщение. Кроме того, на зависимости  $\mu(T)$  для образца группы I при  $T \approx 150$  К наблюдается перегиб (см. вставку на рис. 1), отсутствующий на этой же зависимости для образца группы II.

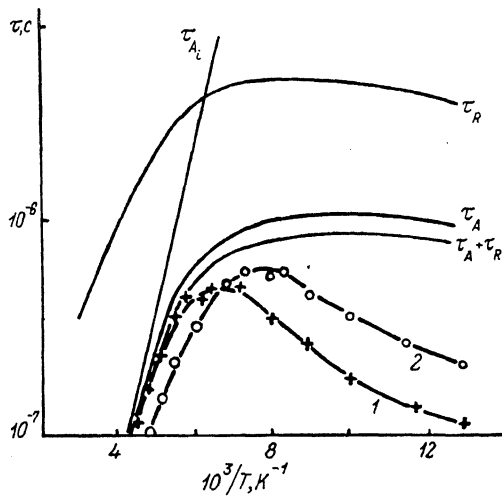


Рис. 2. Температурные зависимости времени жизни неравновесных носителей заряда  $\tau$ . Сплошные линии — расчет, точки — эксперимент для образцов I (1) и II групп (2).

Как уже отмечалось, неотожженные кристаллы  $Mn_xHg_{1-x}Te$  имеют  $p$ -тип проводимости. Дальнейший термоотжиг приводит к конверсии типа проводимости, однако при этом в матрице  $n$ -типа возможно наличие областей  $p$ -типа. Характерное проявление таких областей наблюдалось в [2] в виде аномалий на температурных и магнитополевых зависимостях  $R_x$ ,  $\rho$  и  $\mu$  при  $T < 30$  К. В исследованных нами образцах подобные аномалии не наблюдались. Более того, результаты температурных ( $T < 30$  К) и магнитополевых зависимостей удельного сопротивления и коэффициента Холла [3] позволяют сделать вывод о том, что в исследуемых образцах вкладом включений  $p$ -типа можно пренебречь.

Появление экспоненциального участка на зависимости  $R_x(T)$  в области  $T < 125$  К на образце группы I логично, на наш взгляд, связать с наличием в этих образцах достаточно глубоких донорных центров ( $E_d \approx 6$  мэВ) и их деионизацией при понижении температуры. Наблюдаемый перегиб на  $\mu(T)$  также можно объяснить деионизацией доноров. Действительно, при понижении температуры увеличивается вклад примесного рассеяния, который приводит к появлению максимума на зависимости  $\mu(T)$  и дальнейшему спаду или выходу на насыщение (в зависимости от степени вырождения). Однако начиная с некоторой температуры ( $T \leq 150$  К) происходит вымораживание свободных носителей на более глубокий донор, т. е. уменьшается концентрация заряженных

примесей, что должно приводить к росту подвижности. Численный расчет, выполненный для данного случая, подтверждает это предположение.

Удовлетворительное объяснение зависимости  $\tau(T)$  может быть получено, если учесть межзонную Оже ( $\tau_A$ ) и излучательную ( $\tau_R$ ) рекомбинации, а также рекомбинацию через локальные центры ( $\tau_{SR}$ ) в модели Шокли—Рида. Основные принципы вычислений вкладов отмеченных рекомбинационных механизмов приведены в [4–6]. В данной работе был использован подход, предложенный в [6]. При этом мы полагали, что сечение захвата  $S_p = S_p \approx 10^{-16} \text{ см}^2$ ,  $E_f$  — энергия центров Шокли—Рида,  $N_f$  — их концентрация были подгоночными параметрами при вычислении  $\tau_{SR}$  (эффектами прилипания мы пренебрегали). Используемый диапазон температур позволяет для удовлетворительного совмещения расчетных кривых с экспериментальными данными выбрать  $E_f$  и  $N_f$  с точностью не хуже 7 %. При расчетах мы использовали также следующие параметры:  $P = 7.7 \times 10^{-8}$  эВ см [8],  $\Delta = 1$  эВ [8],  $\epsilon_\infty = 15.2 - 65.9x + 70.4x^2$  [9].

Результаты холловских измерений позволили получить выражение для определения собственной концентрации  $n_i$ , которое удовлетворительно описывает эксперимент для  $0.080 \leq x \leq 0.102$ :  $n_i(x, T) = (-8.44 + 120x + 0.01T) \times 10^{14} E_g^{1/2} T^{1/2} \exp(-E_g/2kT)$ , см<sup>-3</sup>.

Зависимость ширины запрещенной зоны от состава ( $0.08 \leq x \leq 0.21$ ) и температуры определялась из выражения, полученного на основании данных работы [10]:  $E_g(x, T) = -0.302 + 5.35 \cdot 10^{-4} (1 - 4.9x)T + 4.44x - 2.209x^2 + 0.055x^3$ , эВ.

Измеренные нами параметры представлены в таблице.

На рис. 2 приведены экспериментальные и теоретически рассчитанные зависимости  $\tau = \tau(10^3/T)$ . Эти результаты показывают, что в высокотемпературной области существенен вклад лишь оже-процессов, в то время как при  $T < 130$  К основным механизмом, ограничивающим  $\tau$ , становится рекомбинация через локальные центры, концентрация которых, как видно из таблицы, в значительной мере зависит от режима термообработки. Положение уровня практически совпадает во всех исследованных образцах и характеризуется значением  $E_g + (0.070 \pm 0.010)$  эВ. Обращает на себя внимание тот факт, что такие уровни обнаруживались в образцах  $\text{Cd}_x\text{Hg}_{1-x}\text{Te}$  [5, 6].

Таким образом, в образцах  $\text{Mn}_x\text{Hg}_{1-x}\text{Te}$  ( $x \sim 0.1$ ) в зависимости от режима термообработки обнаруживается наличие глубоких донорных состояний с энергией  $\sim 6$  мэВ. Время жизни неравновесных носителей заряда при низких температурах существенно ограничивается присутствием рекомбинационных центров, расположенных на  $\sim 70$  мэВ выше валентной зоны, концентрация которых также во многом зависит от используемых режимов термообработки.

#### Список литературы

- [1] Wall A., Caprille Franciosi A., Reifenberger R., Debska U. // J. Vac. Sci. Techn. 1986. V. A314. P. 818–822.
- [2] Глузман Н. Г., Леринман Н. К., Сабирзянова Л. Д., Боднарук О. А., Горбатюк И. Н., Раренко И. М. // ФТП. 1989. Т. 23. В. 6. С. 1032–1037.
- [3] Беляев А. Е., Городничий О. П., Семенов Ю. Г., Шевченко Н. В., Боднарук О. А., Раренко И. М. // ФТП. 1988. Т. 22. В. 2. С. 335–338.
- [4] Kinch M. A., Brau M. J., Simmons A. // J. Appl. Phys. 1973. V. 44. N 4. P. 1649–1663.
- [5] Баженов Н. Л., Гельмонт Б. Л., Иванов-Омский В. И., Малькова Л. А., Огородников В. К., Тотиева Т. Ц. // ФТП. 1982. Т. 16. В. 1. С. 109–112.
- [6] Pratt R. G., Hewett J., Capper P., Jones C. L., Judd N. // J. Appl. Phys. 1986. V. 60. N 7. P. 2377–2385.
- [7] Dobaczewski A., Janik E., Karczewski J. // Fourth Int. Conf. II–VI Comp. Berlin (West), 1989. Abstracts. Mo-p-54.
- [8] Bastard G., Rigaux G., Guldner Y., Mycielski A., Furdyna J. K., Mullin D. P. // Phys. Rev. B. 1981. V. 24. N 4. P. 1961–1970.
- [9] Баранский П. И., Городничий О. П., Шевченко Н. В., Боднарук О. А. // Деп. в ЦНИИ «Электроника». М., 1988. № Р-4764.
- [10] Боднарук О. А., Городничий О. П., Шевченко Н. В. // Матер. VII Всес. симп. «Полупроводники с узкой запрещенной зоной и полуметаллы». Львов, 1986. Ч. I. С. 37–39.

Институт полупроводников АН УССР  
Киев

Получено 6.12.1989  
Принято к печати 13.04.1990

<sup>1</sup> Недавно в работе [7] на основании данных, полученных методом НЕСГУ на  $\text{Mn}_x\text{Hg}_{1-x}\text{Te}$ , определены  $S_n \approx S_p \approx 10^{-17} \text{ см}^2$ . Использование этих значений приводит в нашем случае к уменьшению  $N_f$  на порядок.